

九州大学 工学部 正員 平野宗夫
 九州大学 工学部 正員 大本照麿
 九州大学 工学部 学生員・永野 広

1. まえがき

Wall jetについて従来 Glauert の解析、Bakke の実験を始め数多くの研究がなされてきたが、それらの多くは相似則を仮定した流速分布と境界層の発達の問題であり、更には、Reynolds応力に関する Schwarz の理論や、Eskinazi らの実験がある。現実的な側面からは水門や堰下流部の洗掘問題に着眼した土屋、斎藤らの二次元乱流壁面噴流に関するものがある。しかし実際に噴流中の粒子の挙動についての研究はなされておらず、そこで本研究は流れに良く追随し壁面噴流の流れの特性を代表しうるポリスチレン粒子を用いて、その挙動の統計的性質について報告する。

2. 実験方法 実験に用いた水槽は図-1(a)に示す片面アクリル製の幅20cm、流路長6mの鋼製水路で上流端に噴流発生装置を、下流端には固定堰を設け静水水深 h_0 を一定として実験した。流量はバルブの調節と噴流発生装置中央の隔壁を上下して変化させ、流速は水路中央で外径1.5mm、内径1.0mmのピトー管を用いて噴出口から5, 10, 15, 20, 30, 40, 50cmの各20断面で測定した。粒子の挙動については噴流発生装置のヘッドタンク中に粒径1.7mm、比重1.07、況々陥没度243cm/sのポリスチレン粒子を投入し、噴出口から飛び出す粒子を16mmカメラでアクリル板側方より撮影し、Sonic Digitizerを用いて時間隔々隔 $1/32$ secで解析した。実験は二次元乱流壁面噴流を設定し、スリット幅 b_0 が0.5, 1.0cmの二種類について行い、それぞれ流量を変化させて行った。水路底板は滑面であり噴流発生口は上下刃形状にして入口の影響を少なくしてある。なお図-1(b)は以下に用いる記号の説明図である。

3. 実験結果および考察

図-2はピトー管を用いた流速分布 $f(\eta)$ で横軸は $\eta = U/U_{max}$ 、縦軸は $\tau = \eta/\delta$ で無次元化してある。出口近傍に於いて Potential flow の残る乱れの拡散領域(Zone of flow establishment)は除外し、それ以後の十分に乱れが発達した確立領域(Zone of established flow)についてのみプロットしたものである。全実験を通じて流速分布の相似則はほぼ成立しているが、 U_{max} より上方の主流部の外縁ではバラツキが大きく、そのバラツキも系統的变化は表われていない。

流速と噴流幅の x 方向の変化を示したのが図-3, 4である。流速としては断面ごとの U_{max} を噴流幅としては内

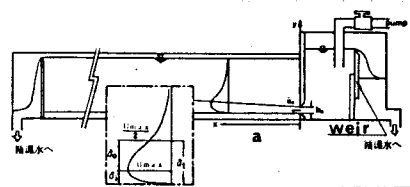


図-1 実験装置

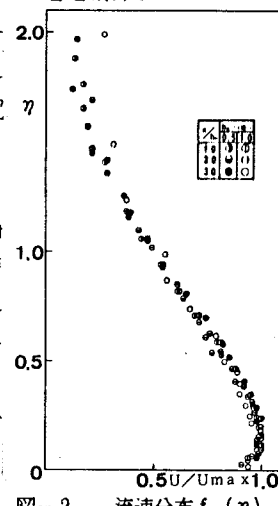
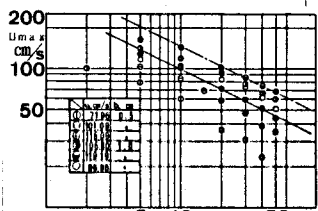
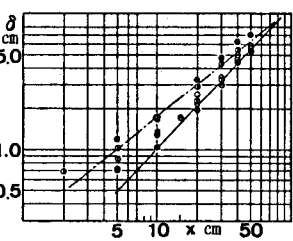
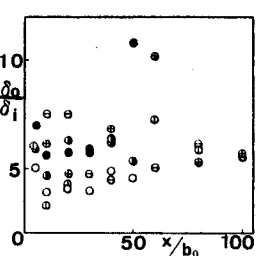
図-2 流速分布 $f(\eta)$ 図-3 U の減衰図-4 δ/b_0 の変化

表-1 Schwarzによる壁面せん断抵抗係数

(x/b_0)	C_1	a	C_{11}^+	x/b_0^2	b_0	$R_o = U_{max}/U_0$
2.392	0.250	-0.51	2.392	2.392	0.5	3.052
2.807	0.119	-0.84	4.880	1.241	•	5.004
2.850	0.090	-0.53	2.574	0.918	•	5.747
3.233	0.217	-0.90	—	2.798	1.0	10.674
2.885	0.278	-0.48	—	2.874	•	11.800
2.320	0.287	-0.49	—	2.478	•	5.590
2.6145	0.2039	-0.51	2.827	2.119	•	—

図-5 δ/b_0 の変化

層厚 δ_t と外層厚 δ_o との和 $\delta_t + \delta_o$ で表わしている。相似則の仮定より $U_{max} \propto \chi^a, \delta_t \propto \chi^b$ として a, b を求めると $a = -0.51, b = 0.87$ であった。図中に示した直線は $b = 3$ が 0.5 及び 1.0 のときのものであり、記号は δ_t の発達にも同じものを用いている。Glauert の理論によると二次元乱流壁面噴流の相似則は $a = 1.4$ として $a = -0.528, b = 0.906$ であり、Cosart では $a = -0.555, b = 1.0$ である。 U_{max} についてはこれらの値と大体一致しているが、噴流幅については若干その値が低く χ に比例しなかった。これは Cosart らは無限水深を対象としているのにに対し本実験は有限水深であり、これが効いているのではないかと思われる。次に δ_t と δ_o の発達率を比較したのが図-5 である。

壁面のせん断力は境界層方程式を y に関して 0 から ∞ まで積分した式に $\int_0^y U^2 - U^2$ として得られた Schwarz の壁面抵抗係数²⁾ $C_f = -2C_2(2a+1) \int_0^{\infty} f'(\eta) d\eta$ ————— (1) を用いて算定し表-1 にまとめてある。Self-Preserving flow を仮定すると $\delta_t = C_2 \chi$ とならなければならぬが、本実験では $\delta_t \propto C_2 \chi$ であるので $b = 1.0$ を仮定し、 $a < 0.5$ についてのみ求めた C_{f1} と a の平均-0.51 で計算した C_{f2} の二つを載せておる。斎藤: $C_f = 0.9 \times 10^{-2}$, 土屋: $C_f = 1.0 \sim 2.0 \times 10^{-2}$ に比べてやや大ききな値となった。

ポリスチレン粒子の流れへの追随性を確かめるため、ピト管を用いての流速分布と粒子の移動量より求めた速度分布とを比較したのが図-6 である。主流部外縁で粒子による速度分布が不規則に変化しているが、流れの大部分において両者は良く一致している。次に粒子の x, y 方向の移動量 (l_x, l_y) の頻度分布を示したのが図-7 である。図-10 中の曲線は実測値より得られた平均と標準偏差を用いた Gauss 分布である。全体として分布形にはほぼ対称形であった。各断面各層の歪度を示したのが図-8 である。乱れの強度 \sqrt{VarX}, \sqrt{VarY} をその点の U で割った変動係数 $VarX, VarY$ の各断面ごとの推移を示したのが図-9 である。 $\chi/b_0 \geq 20$ で乱れの相似則が成立し、 $\chi/b_0 \geq 40$ 付近から x, y 両方向とも変動係数は一様に近づく。図-10 は各断面に対し深さ方向に l_x と l_y の相関係数をプロットしたものである。バラツキは大きいが全般的にみて壁面附近で最も小さく、 y 方向にはほぼ直線的に増加する正の相関があり、境界層内では y によって運動量は下方に、主流部では逆に上方に輸送されていることがわかる。

4.あとがき

以上二次元乱流壁面噴流中の粒子の挙動について、その統計的性質を実験により述べてきた。今後は本研究を基にして Pick-up rate まで考慮した、噴流による土砂輸送まで考えてゆきたい。最後に協力して下さった外村氏に謝意を表わします。

参考文献) 1) Glauert, M.B.; The wall-jet, Jour. Fluid Mech. vol 1 Part 6, 1956

2) Schwarz, W.H. and W.P. Cosart; The Two-dimensional Wall-jet, Jour. Fluid Mech. ; vol 10, Part 4 , 1961

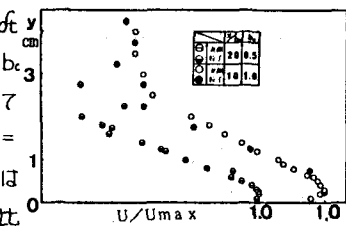


図-6 速度分布の比較

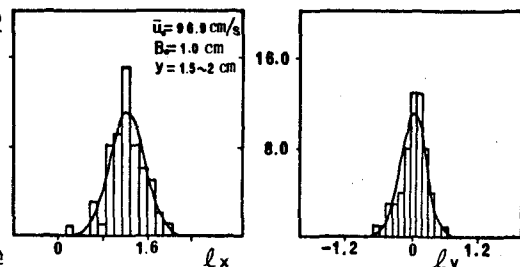


図-7 l_x, l_y の頻度分布

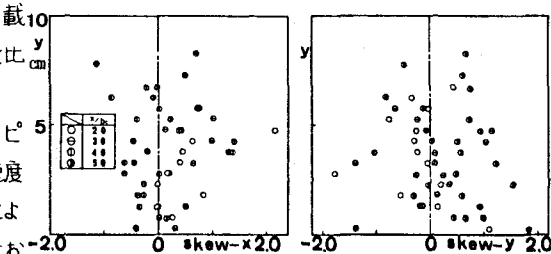


図-8 歪度

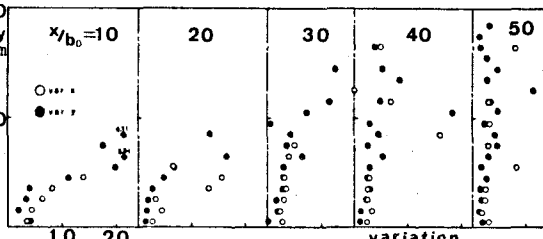


図-9 變動係数

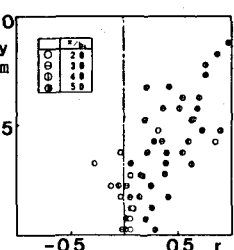


図-10 相関係数